

第21回CMSI神戸ハンズオン: MODYLASチュートリアル

名古屋大学 大学院 工学研究科
附属計算科学連携教育センター
特任講師
安藤 嘉倫

アシスタント: 遠藤裕太 (名大院 M1)

2015/01/30 CMSI神戸拠点

目次

13:00-14:00

分子動力学シミュレーション 概要説明

熱力学的積分法 概要説明

研究事例の紹介

14:00-15:00

MODYLASを用いた実習(1) 使い方説明およびサンプル系平衡化

15:00-15:30

コーヒーブレーク

15:30-17:00

MODYLASを用いた実習(2) 平均力の計算および自由エネルギーの算出

分子動力学法(1) 概要

(Molecular dynamics, MD)

基礎方程式:
ニュートンの運動方程式

$$m_i \frac{d^2 \mathbf{r}_i}{dt^2} = \mathbf{F}_i \\ i = 1, \dots, N$$

 数値積分

\mathbf{r}_i : 原子座標

\mathbf{F}_i : 原子に作用する力

m_i : 原子質量

N : 系に含まれる原子数 $O(10^4-10^7)$

3N 個の自由度についての二階常
微分方程式。初期条件 $\mathbf{r}_i(0), \mathbf{v}_i(0)$.

速度ベルレ法 $\xrightarrow{\text{一般化}}$ RESPA法

$$\begin{aligned} \mathbf{v}_i\left(t + \frac{\Delta t}{2}\right) &= \mathbf{v}_i(t) + \frac{\Delta t}{2} \frac{\mathbf{F}_i(\Delta t)}{m_i} \\ \mathbf{r}_i(t + \Delta t) &= \mathbf{r}_i(t) + \Delta t \mathbf{v}_i\left(t + \frac{\Delta t}{2}\right) \quad \boxed{\text{繰返し}} \\ \mathbf{v}_i(t + \Delta t) &= \mathbf{v}_i\left(t + \frac{\Delta t}{2}\right) + \frac{\Delta t}{2} \frac{\mathbf{F}_i(t + \Delta t)}{m_i} \end{aligned}$$

\mathbf{v}_i : 原子の速度

Δt : 時間刻み幅 $O(10^{-15})$ sec

100 ns のMD計算 = 10^8 回の反復

分子動力学法(2) 原子間相互作用

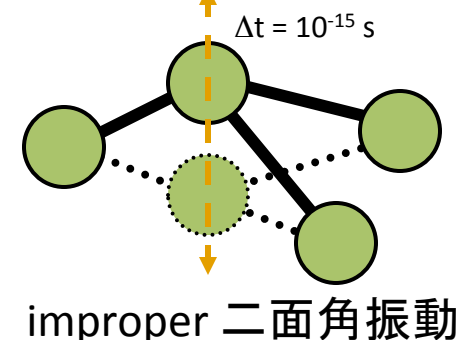
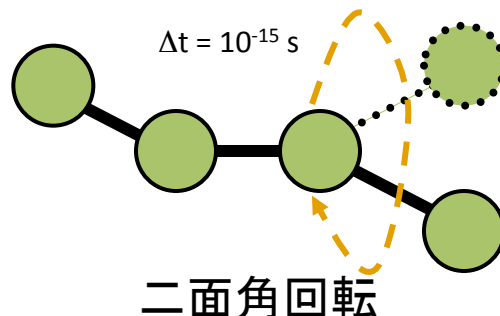
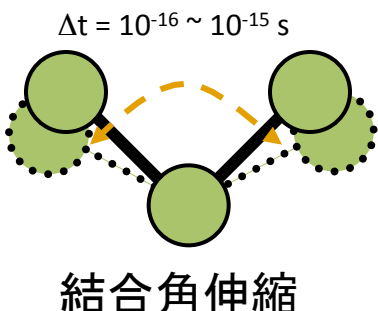
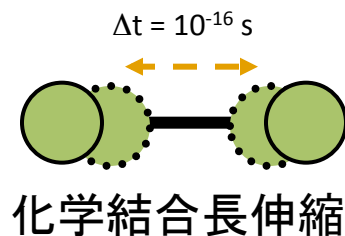
古典近似された力場関数 (例: CHARMM)

$$\mathbf{F}_i = -\frac{\partial U_{tot}}{\partial \mathbf{r}_i}$$

$$U_{tot} = \sum_{bonds} K_b(b - b_0)^2 + \sum_{angles} K_\theta(\theta - \theta_0)^2 + \sum_{ub} K_{ub}(s - s_0)^2 \\ + \sum_{dihedrals} K_\phi [1 + \cos(n\phi - \delta)] + \sum_{impropers} K_\psi (\psi - \psi_0)^2 \\ + \sum_{nonbonds} \epsilon_{ij} \left[\left(\frac{R_{ij}}{r_{ij}} \right)^{12} - 2 \left(\frac{R_{ij}}{r_{ij}} \right)^6 \right] + \frac{q_i q_j}{r_{ij}}$$

レナードジョーンズ
相互作用 (近距離)

静電相互作用
(長距離)

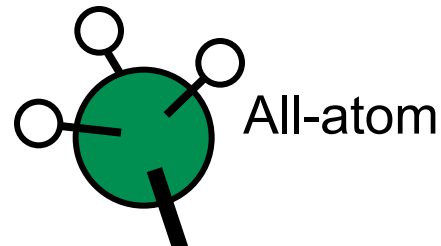


しばしば結合長伸縮, 結合角伸縮などの速い運動の自由度に距離拘束条件を導入 (SHAKE/RATTLE/ROLL法)
→ より大きな Δt を使用でき, 計算可能時間長さが延びる

分子動力学法(3) 代表的な汎用ポテンシャル

力場名称	主な開発者	MDソフトウェア	タイプ
CHARMM	M. Karplus, A.D. Mackerell Jr., J. Klauda	CHARMM	All-atom <small>MODYLAS 1.0.3</small>
GROMOS	H.J.C. Berendsen, W.F. van Gunsteren	GROMACS	United-atom
AMBER/ OPLS	P.A. Kollman, W.L. Jorgensen	AMBER	All/United-atom

例) メチル基
 $-\text{CH}_3$



用いる力場およびAA/UAは、要求する計算精度に応じてユーザーが選ぶ

分子動力学法(4) 熱力学量の計算

MD 計算の結果, 座標 \mathbf{r}_i および速度 \mathbf{v}_i から下記の熱力学量が時間平均として計算される.

内部エネルギー

$$E = \left\langle \sum_i u_i \right\rangle + \left\langle \sum_i \frac{1}{2} m \mathbf{v}_i^2 \right\rangle$$

u_i : 原子 i に作用するポテンシャルエネルギー

エネルギー等分配則

$$\sum_i \frac{1}{2} m \mathbf{v}_i^2 = \frac{f}{2} k_B T$$

温度

$$T = \left\langle \frac{\sum_i m \mathbf{v}_i^2}{f k_B} \right\rangle$$

ビリアル定理

圧力

$$P = \frac{1}{3V} \left\langle \sum_i m \mathbf{v}_i^2 + \sum_i \mathbf{r}_i \cdot \mathbf{F}_i \right\rangle$$

f : 自由度数 (拘束条件無では $f=3N$)

自由エネルギーおよびエントロピーについては座標 \mathbf{r}_i および速度 \mathbf{v}_i から
直接計算することはできない. 状態数 W のカウントができないため.

エントロピー

$$S = k_B \ln W$$

$$F(N, V, T) = E - TS$$

Helmholtzの自由エネルギー

$$G(N, P, T) = E - TS + PV$$

Gibbsの自由エネルギー

分子動力学法(5) 自由エネルギーの計算法

状態A,B間の自由エネルギー差を求めるために、さまざまな方法論が提案されている。以下代表的なもの：

- 熱力学的積分法

$$\Delta F_{AB} = F_B - F_A = \int_0^1 \left\langle \frac{\partial F(\lambda)}{\partial \lambda} \right\rangle_{\lambda=\lambda'} d\lambda$$

反応座標 λ を

(1) 溶質間の重心間距離

とした場合を MODYLAS_1.0.3 に実装。

(2) 溶質-溶媒間相互作用のスケール因子

とした場合も実装予定。

- 摂動法

$$\Delta F_{AB} = -k_B T \ln \left\langle \exp \left(-\frac{\Delta U_{AB}}{k_B T} \right) \right\rangle_A$$

$$\Delta U_{AB} = U_B - U_A$$

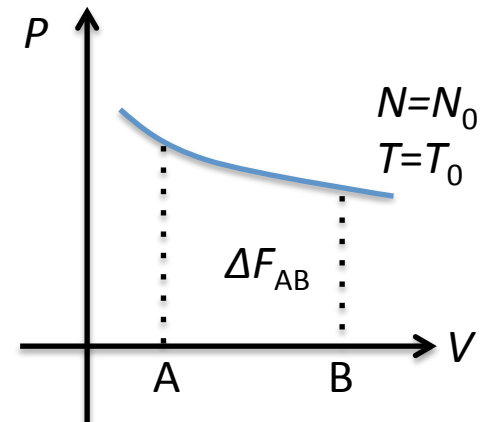
ホテンシャル
エネルギー差

状態A,B間の差が小さいとき有効。

熱力学的積分法(1)

- MD シミュレーション固有の方法ではない.
- ΔF を計算するための, 热力学における一般的な方法.

$$P = -\left(\frac{\partial F}{\partial V}\right)_{N,T} \quad \rightarrow \quad \Delta F_{AB} = \int_A^B \left(\frac{\partial F}{\partial V}\right)_{N,T} dV \\ = -\int_A^B (P)_{N,T} dV$$



MD シミュレーションにおける熱力学的積分法:

$$\left(\frac{\partial F(\lambda)}{\partial \lambda}\right)_{N,T,V} \quad \rightarrow \quad \Delta F_{AB} = \int_A^B \left(\frac{\partial F(\lambda)}{\partial \lambda}\right)_{N,T,V} d\lambda$$

$$F(N,V,T,\lambda) = E(\lambda) - TS = [K + U(\lambda)] - TS$$

ポテンシャルエネルギー項に
状態を規定する変数 λ ($0 \leq \lambda \leq 1$)
が加わる. このとき

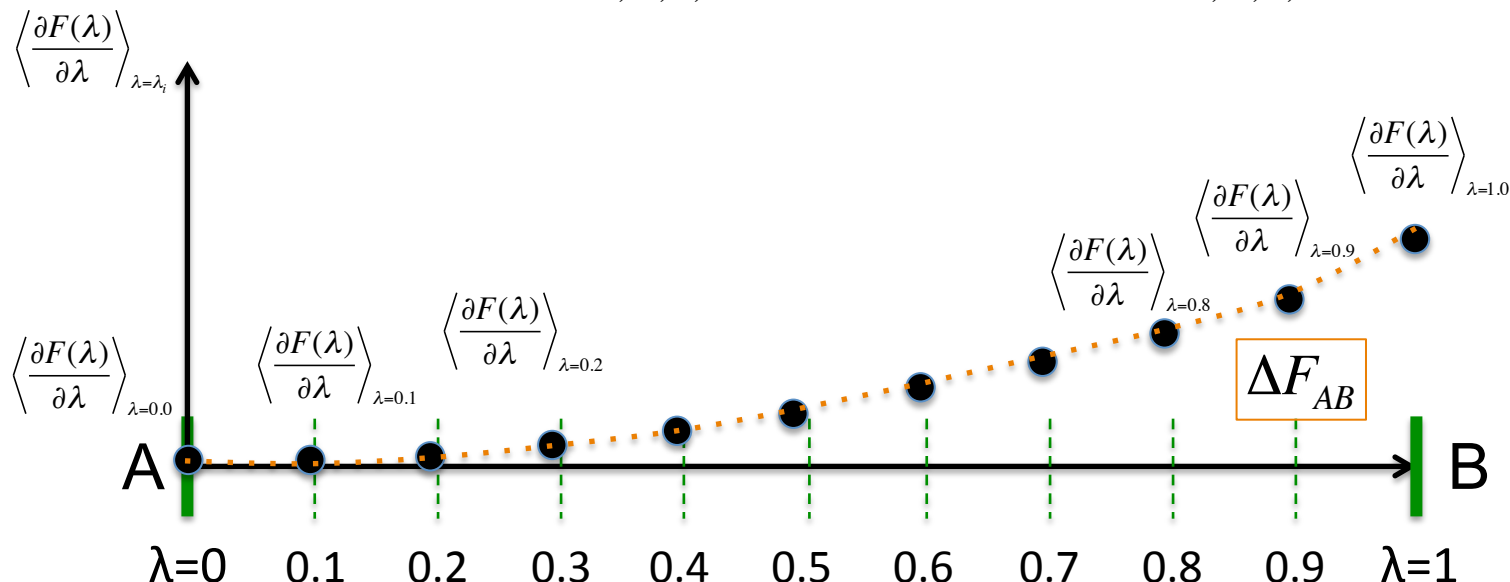
$$\left(\frac{\partial F(\lambda)}{\partial \lambda}\right)_{N,T,V} = \left(\frac{\partial U(\lambda)}{\partial \lambda}\right)_{N,T,V}$$

熱力学的積分法(2)

計算の手順

- 反応座標 λ にそった中間状態を複数もうける
- 各中間状態において熱平衡状態での平均値 $\left\langle \frac{\partial F(\lambda)}{\partial \lambda} \right\rangle_{\lambda,N,T,V}$ を計算
- 得られた $\left\langle \frac{\partial F(\lambda)}{\partial \lambda} \right\rangle_{\lambda,N,T,V}$ を λ にそって数値積分することで ΔF_{AB} を得る

$$\Delta F_{AB} = \int_A^B \left\langle \frac{\partial F(\lambda)}{\partial \lambda} \right\rangle_{\lambda,N,T,V} d\lambda \approx \sum_i \left\langle \frac{\partial F(\lambda)}{\partial \lambda} \right\rangle_{\lambda,N,T,V} \Delta\lambda$$



熱力学的積分法(3)

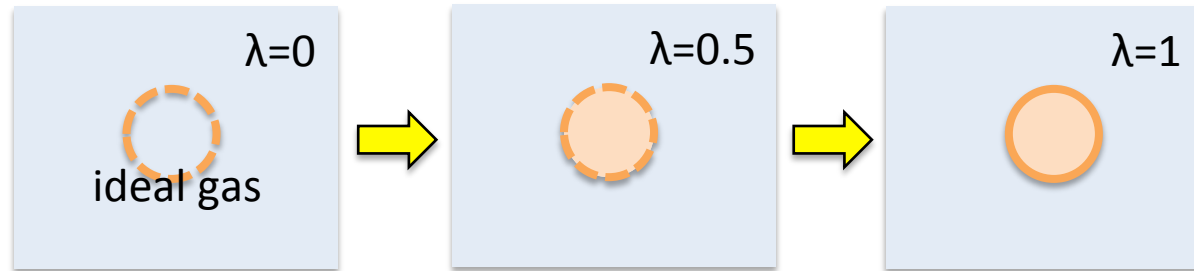
λ の例

(1) 溶媒中の2つの溶質-溶質間の重心間距離 R_{IJ}

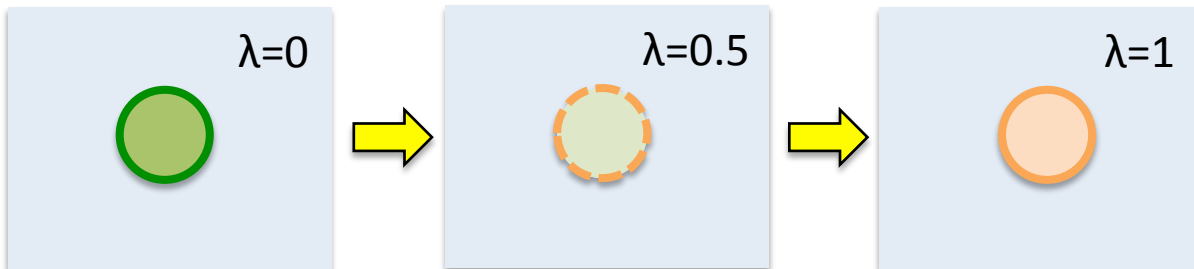
本講習会での対象



(2) 1つの溶質と周囲の溶媒との相互作用のスケール因子 λ



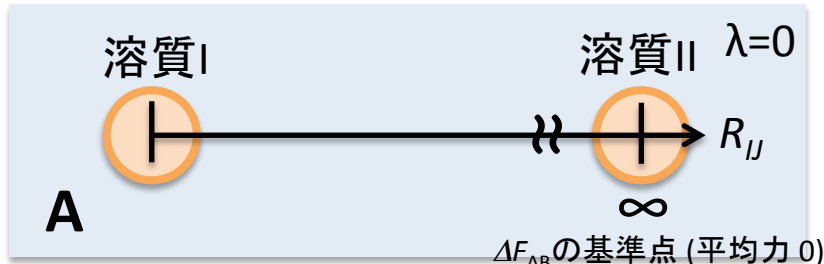
(3) 溶媒中の1つの溶質Aを別の溶質Bへとスイッチするパラメーター λ



熱力学的積分法(4)

(1) 溶媒中の2つの溶質-溶質の重心間距離 R_{IJ}

本講習会での対象



$$\left\langle \frac{\partial F(\lambda)}{\partial \lambda} \right\rangle_\lambda = \left\langle \frac{\partial U(R_{IJ})}{\partial R_{IJ}} \right\rangle_{R_{IJ}} = -\left\langle f_{IJ}(R_{IJ}) \right\rangle_{R_{IJ}} \quad R_{IJ} \text{一定とした上で動径方向への平均力}$$

$$\Delta F_{AB} = \int_A^B -\left\langle f_{IJ}(R_{IJ}) \right\rangle_{R_{IJ},N,T,V} dR_{IJ} \approx \sum_i -\left\langle f_{IJ}(R_{IJ,i}) \right\rangle_{R_{IJ,i},N,T,V} \Delta R_{IJ}$$

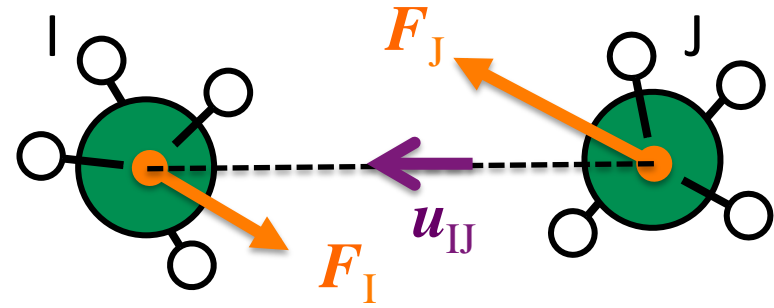
$$f(R_{IJ}) = \left(\frac{M_J}{M_I + M_J} \mathbf{F}_I - \frac{M_I}{M_I + M_J} \mathbf{F}_J \right) \cdot \mathbf{u}_{IJ}$$

$$\mathbf{F}_I = \sum_{i \in I} \mathbf{f}_i, \quad \mathbf{F}_J = \sum_{j \in J} \mathbf{f}_j \quad \text{溶質重心に作用する力}$$

$$M_I = \sum_{i \in I} m_i, \quad M_J = \sum_{j \in J} m_j \quad \text{溶質の質量}$$

$$\mathbf{u}_{IJ} = \frac{\mathbf{R}_{IJ}}{R_{IJ}} \quad \text{溶質} I, J \text{の重心間動径方向への単位ベクトル}$$

$\left\langle f_{IJ}(R_{IJ}) \right\rangle_{R_{IJ}}$ はMODYLASから
sessionname.force
として出力される(2列目)
正:斥力, 負:引力.



熱力学的積分法(5)

統計力学からの導出 [N,V,T一定(カノニカル)アンサンブル]

分配関数

$$Q(N, V, T, \lambda) = \frac{1}{N!} \int \int \exp\left(-\frac{U(\mathbf{r}^N, \lambda) + K(\mathbf{p}^N)}{k_B T}\right) d\mathbf{r}^N d\mathbf{p}^N = \frac{1}{\Lambda^{3N} N!} \int \exp\left(-\frac{U(\mathbf{r}^N, \lambda)}{k_B T}\right) d\mathbf{r}^N$$

Helmholtzの自由エネルギー

$$F(\lambda) = -k_B T \ln Q(N, V, T, \lambda)$$

$$\frac{\partial F(\lambda)}{\partial \lambda} = -k_B T \frac{\partial}{\partial \lambda} \ln Q(N, V, T, \lambda) = -\frac{k_B T}{Q(N, V, T, \lambda)} \frac{\partial Q(N, V, T, \lambda)}{\partial \lambda}$$

$$= \frac{\int \frac{\partial U(\mathbf{r}^N, \lambda)}{\partial \lambda} \exp\left(-\frac{U(\mathbf{r}^N, \lambda)}{k_B T}\right) d\mathbf{r}^N}{\int \exp\left(-\frac{U(\mathbf{r}^N, \lambda)}{k_B T}\right) d\mathbf{r}^N} = \left\langle \frac{\partial U(\mathbf{r}^N, \lambda)}{\partial \lambda} \right\rangle_{\lambda, N, V, T}$$

$$\Delta F = F(\lambda = 1) - F(\lambda = 0) = \int \left\langle \frac{\partial F}{\partial \lambda} \right\rangle_\lambda d\lambda = \int \left\langle \frac{\partial U(\lambda)}{\partial \lambda} \right\rangle_\lambda d\lambda$$

配置積分

$$\int \exp\left(-\frac{U(\mathbf{r}^N, \lambda)}{k_B T}\right) d\mathbf{r}^N$$

カノニカルアンサンブルでの物理量Aのアンサンブル平均

$$\langle A \rangle_{N, V, T} = \frac{\int A(\mathbf{r}^N) \exp\left(-\frac{U(\mathbf{r}^N)}{k_B T}\right) d\mathbf{r}^N}{\int \exp\left(-\frac{U(\mathbf{r}^N)}{k_B T}\right) d\mathbf{r}^N}$$

N,P,T一定アンサンブルでのGibbsの自由エネルギー差 ΔG についても同様な導出。

岡崎, コンピュータシミュレーションの基礎(第一版)を参照

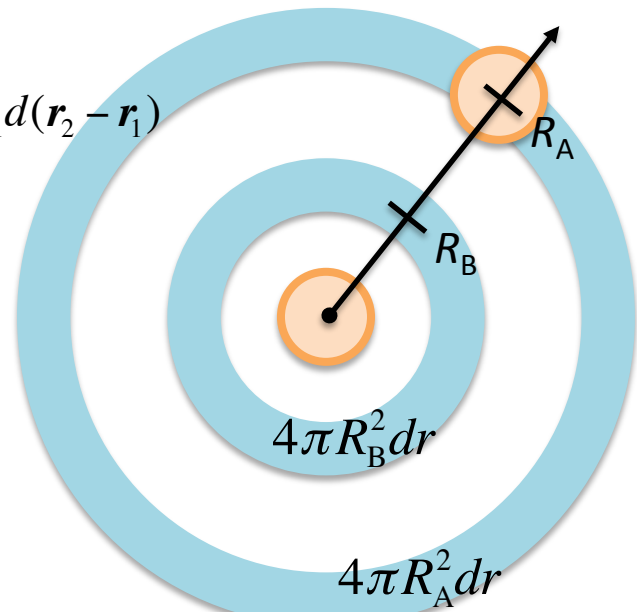
熱力学的積分法(6)

極座標系での注意

R の値に依存したヤコビアンのぶん, 分配関数の積分範囲が異なる.
これを自由エネルギー差 $\Delta G(r)$ に反映させる必要がある.

相互作用がない2粒子の場合を例に,

$$\begin{aligned} Q &= \frac{1}{\Lambda^6 2!} \int \exp\left(-\frac{0}{k_B T}\right) d\mathbf{r}_1 d\mathbf{r}_2 = \frac{1}{\Lambda^6 2!} \int d\mathbf{r}_1 d\mathbf{r}_2 = \frac{1}{\Lambda^6 2!} \int d\mathbf{r}_1 d(\mathbf{r}_2 - \mathbf{r}_1) \\ &= \frac{V}{\Lambda^6 2!} \int r^2 \sin \theta dr d\theta d\phi \\ &= \frac{V}{\Lambda^6 2!} \int 4\pi r^2 dr \quad V, \Lambda \text{ は定数} \end{aligned}$$



ある R における状態数 Q_R は

$$Q_R = \frac{V}{\Lambda^6 2!} \int \delta(r - R) 4\pi r^2 dr = \frac{4\pi R^2 V}{\Lambda^6 2!}$$

R_A, R_B における積分範囲の違いに由来する自由エネルギー差 ΔF_{ideal} は

$$\Delta F_{ideal} = -k_B T \ln Q_{R_B} - (-k_B T \ln Q_{R_A}) = -k_B T \ln(R_B^2 / R_A^2) \quad * \text{あくまで } \theta, \Phi \text{ について等方的な系}$$

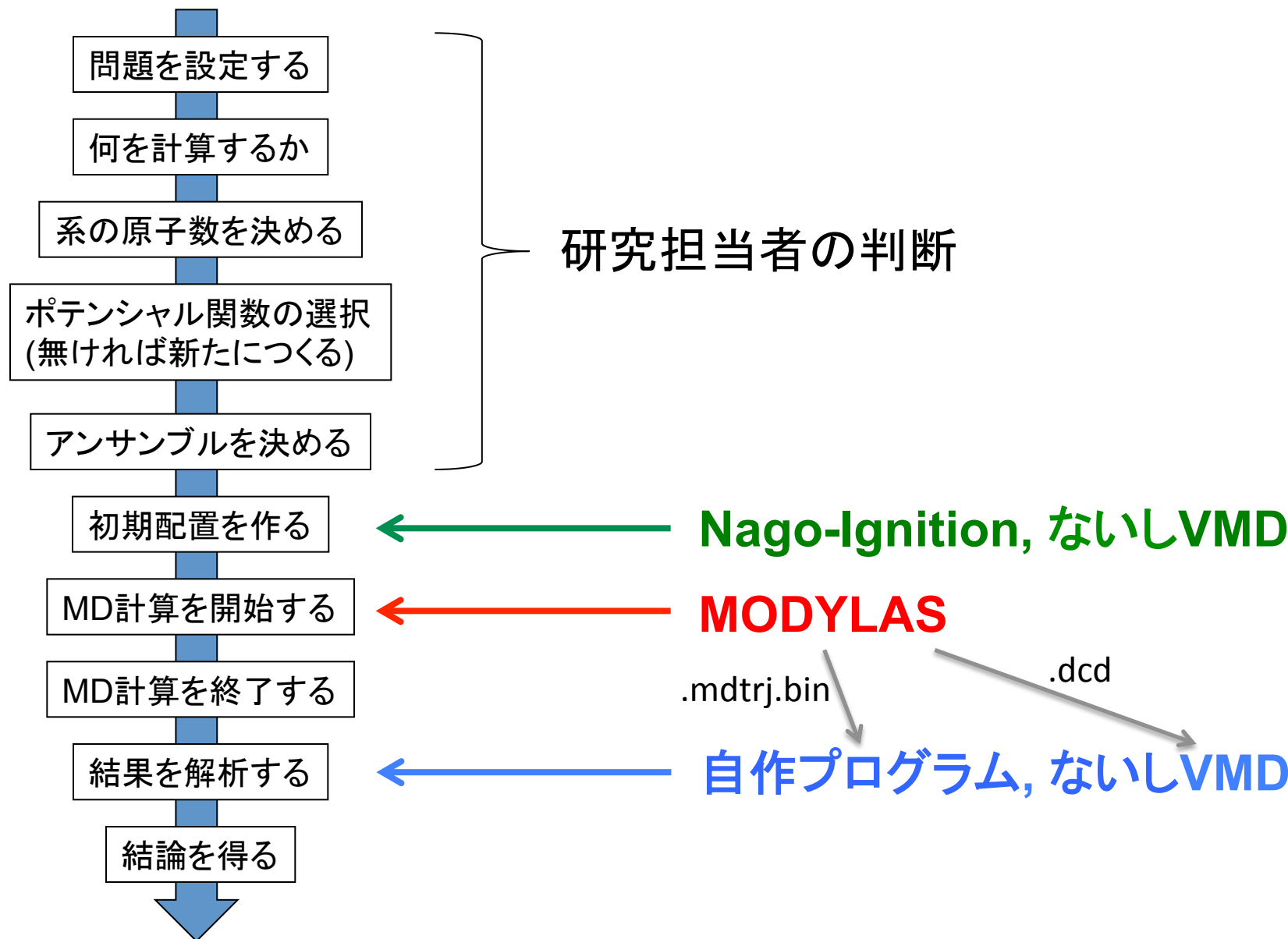
$$\Delta F = \Delta F_{ideal} + \Delta F_{excess} = -k_B T \ln(R_B^2 / R_A^2) + \int_A^B -\langle f(R) \rangle dR$$

理想項: 過剰項:
ヤコビアン 原子間相互作用

MD計算より

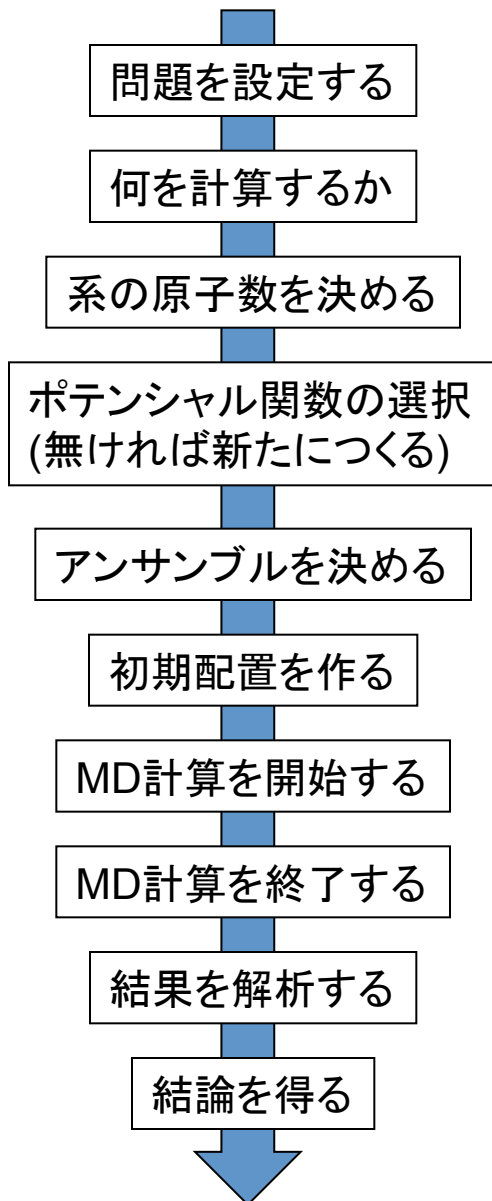
これを実験値と比較

分子動力学法による研究の手順



分子動力学法と熱力学的積分法による研究事例

研究例1

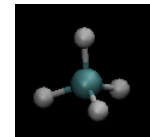


SDSミセルへの炭化水素分子(メタン, エタン, ...)の可溶化過程

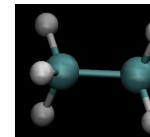
界面活性剤
Sodium Dodecyl Sulfate



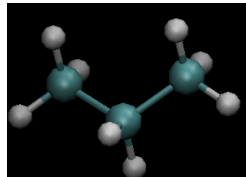
疎水性炭化
水素分子



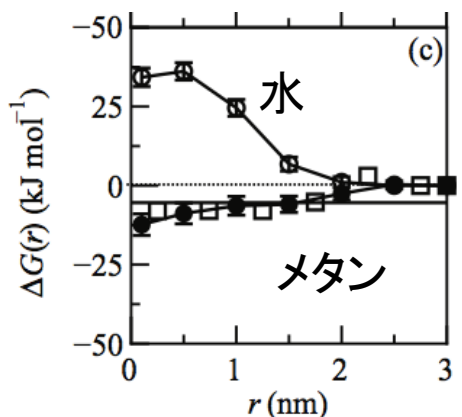
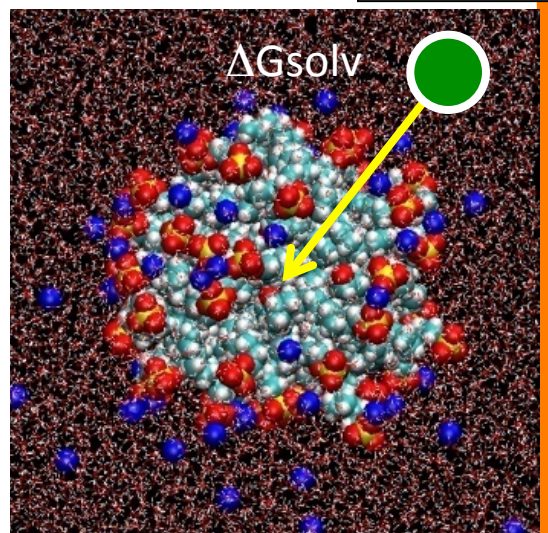
CH_4



C_2H_6



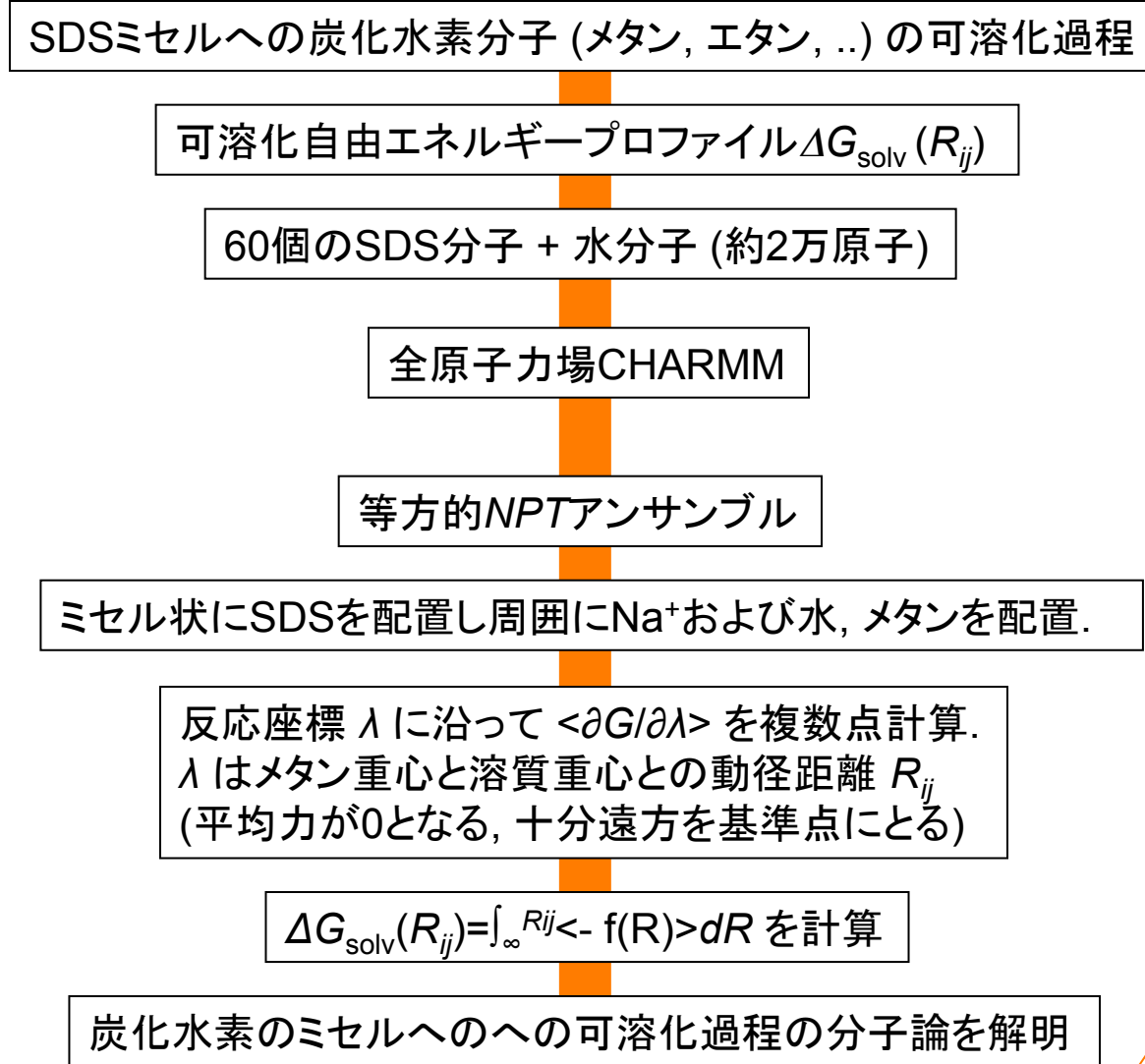
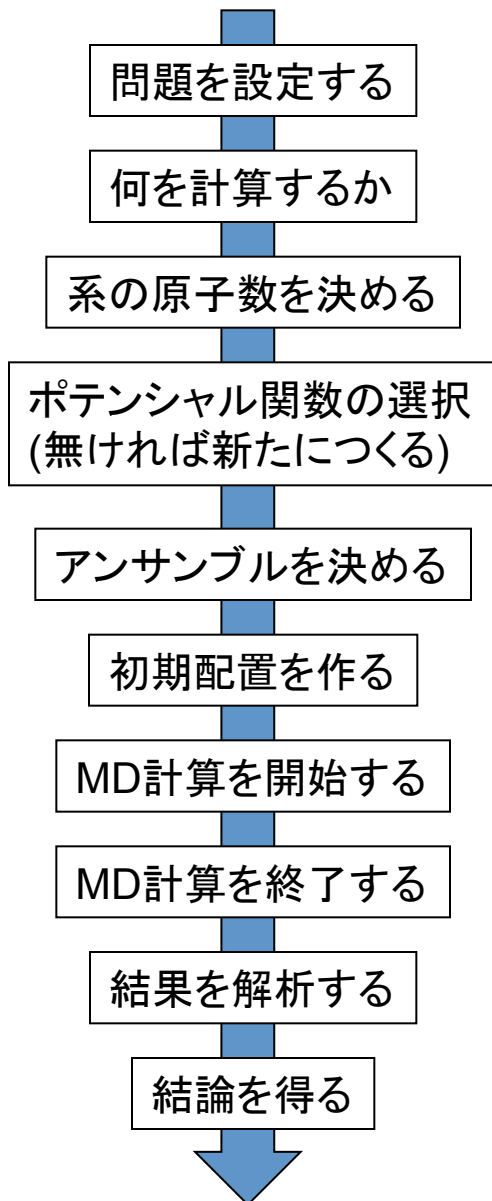
C_3H_8



K.Fujimoto, N.Yoshii, S.Okazaki, J.Chem.Phys., **136**, 014511 (2012);
133, 074511 (2010); **137**, 094902 (2012).

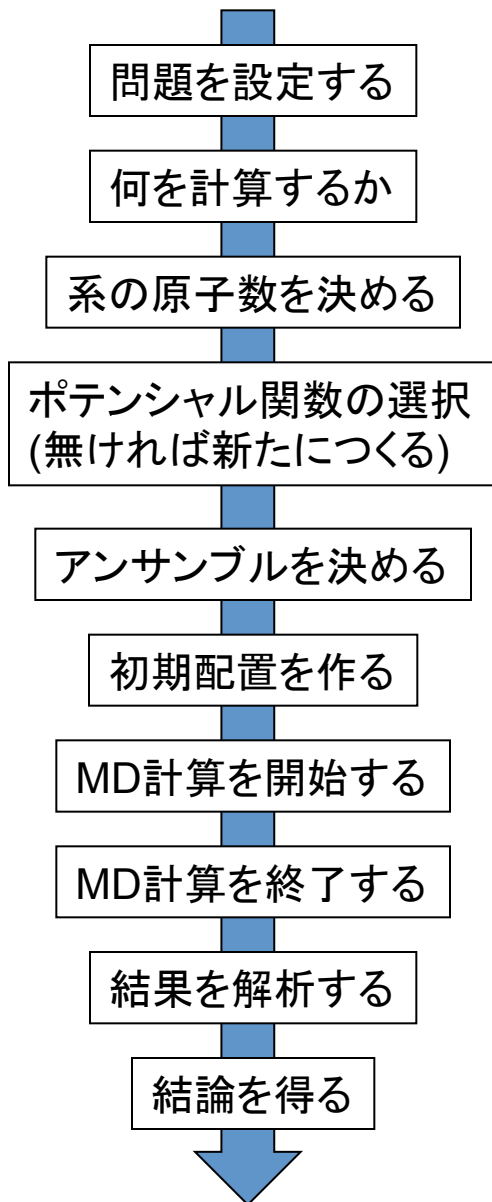
分子動力学法と熱力学的積分法による研究事例

研究例1

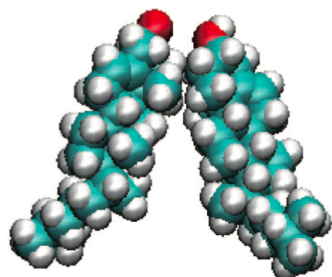


分子動力学法と熱力学的積分法による研究事例

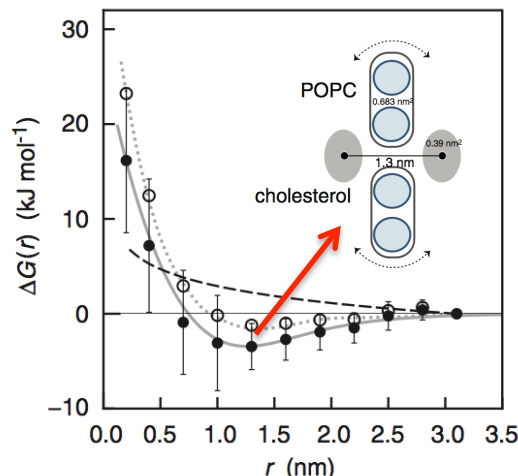
研究例2



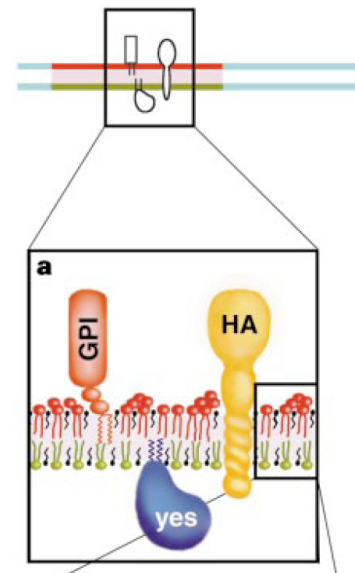
脂質二重層膜中のコレステロール2分子間の引力的相互作用



コレステロール2分子



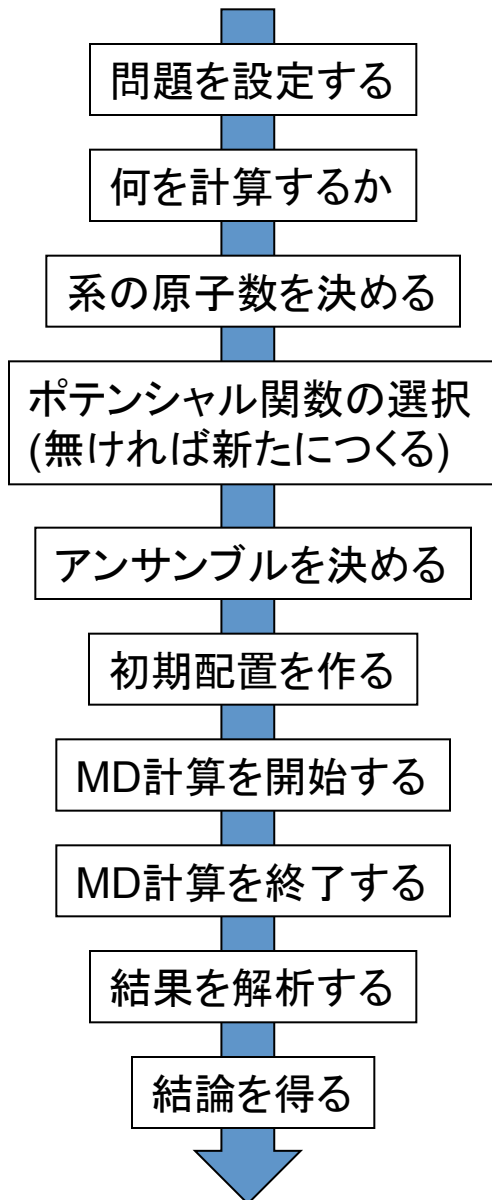
細胞膜の「ラフト」モデル



コレステロールとスフィンゴ脂質が側方向に凝集した「ラフト(筏)」

分子動力学法と熱力学的積分法による研究事例

研究例2



脂質二重層膜中のコレステロール2分子間の引力的相互作用

膜中でのコレステロール2分子間の側方自由
エネルギープロファイル $\Delta G(r_{xy})$

単層膜あたり2個のコレステロール分子, 62個のPOPC分子
+ 水分子 (約3万原子)

全原子力場CHARMM

異方的NPTアンサンブル

POPC膜に2個のコレステロールを挿入した上で水層を配置.

反応座標 λ に沿って $\langle \partial G / \partial \lambda \rangle$ を複数点計算.
 λ はコレステロール重心間の膜面上の動径距離 R_{xy} (十分遠方を基準点とする)

$$\Delta G_{\text{solv}}(R_{xy}) = \int_{\infty}^{R_{xy}} \langle -f(R_{xy}) \rangle dR_{xy} \text{ を計算}$$

膜中でのコレステロール2分子間の引力的相互作用の
分子論を解明

MODYLAS を使った実習(1)

- 使い方説明

系の熱平衡化, および熱力学的積分法を用いた平均力
 $\langle f(R) \rangle$ の算出方法に話題をしづつて説明します。

ダウンロード方法, その他使い方の詳細は前回の講習会資料を参考ください。

[http://www.cms-initiative.jp/ja/events/cmsi-kobe-event/
20140120_modylas](http://www.cms-initiative.jp/ja/events/cmsi-kobe-event/20140120_modylas)

ライセンス

- ・ユーザー登録制
- ・再配布(ソース, バイナリとともに)禁止
- ・文献引用 [J. Chem. Theory Comp., 9, 3201-3209 (2013)]
- ・ベンチマーク結果を著作権者の許可無く公開禁止
- ・ソース変更, 改良点は著作権者にフィードバック, など.

詳細は www.modylas.org のダウンロードページに記載. 日本語版ライセンス文書はレファレンスマニュアルおよびチュートリアルの冒頭にあります.

The screenshot shows the MODYLAS website with a dark blue header. The header includes the MODYLAS logo and navigation links for HOME, OVERVIEW, DOWNLOAD, DOCUMENTATION, RELEASE NOTES, FORUMS, LITERATURE, DEVELOPERS, CONTACT, and LINKS. Below the header, a breadcrumb trail indicates the current page: Home > MODYLAS Software Program License Agreement ... The main content area features a large title "MODYLAS Software Program License Agreement (2014/04/14)" in bold. Below the title, a paragraph describes the agreement's purpose: "MODYLAS Copyright Administrator (the "Licensor"), representing all the members listed in Exhibit 1 (the "Copyright Holders") who are the copyright holders of MODYLAS (the "Program"), grants to a person which is identified in the application page (the "Licensee") the right to use the Program in accordance with the terms and the conditions of this MODYLAS Software Program License Agreement (this "Agreement") free of charge." The page is divided into sections: "Article 1 (Definition)" and "Article 2 (Provision of the Program)". The first article contains two numbered points defining "Commercial use" and "Military use". The second article is partially visible at the bottom.

[Home](#) > MODYLAS Software Program License Agreement ...

MODYLAS Software Program License Agreement (2014/04/14)

MODYLAS Copyright Administrator (the "Licensor"), representing all the members listed in Exhibit 1 (the "Copyright Holders") who are the copyright holders of MODYLAS (the "Program"), grants to a person which is identified in the application page (the "Licensee") the right to use the Program in accordance with the terms and the conditions of this MODYLAS Software Program License Agreement (this "Agreement") free of charge.

Article 1 (Definition)

1. "Commercial use" means, including but not limited to, selling MODYLAS for a fee MODYLAS, doing consulting and contract calculation for a fee by using MODYLAS, using MODYLAS for business directly. "Non-commercial use" means the use of any other, including but not limited to, research and development in a for-profit company as well as academic use.
2. "Military use" means, including but not limited to, using MODYLAS to develop any military weapons and/or directly to other military actions. "Non-military use" of MODYLAS means the use of any other.

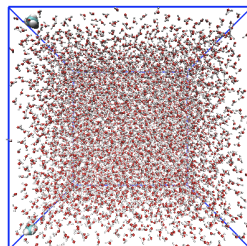
Article 2 (Provision of the Program)

1. The Program shall be provided for all the non-military, non-commercial research purposes (the "Purpose") only. If you would like to use MODYLAS for business, then please contact us at the

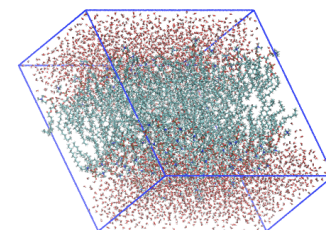
実行制限

MODYLAS_1.0.3 (2015/1/27版) には、主に並列化方法からの要請により、以下の実行制限があります

✓ 立方体の基本セル



✓ 周期境界条件下



✓ MPI と OpenMP のハイブリッド並列

- MPI プロセス数 * : 2^n ($0 \leq n$)
- OMPスレッド数 : 制限なし

2.0.0 → $2^n \cdot 3^m$ ($0 \leq n, 0 \leq m$)

✓ 基本セル各辺の分割数 = 2^k (均等分割, $3 \leq k \leq 6$)

2.0.0 → 2^{k*3^l} (不均等分割)

✓ 分割されたサブセルの一辺長さ > 0.5*カットオフ半径

$$L/\text{ncell} > 0.5*\text{cutoff}$$

* ただし 1, 2, 4 プロセス実行は `-DONEPROC_AXIS` を `src/Makefile` に追記のこと。

MODYLAS コンパイル

* 今回はコンパイル済みの phi 用バイナリを使用

解凍先フォルダへ移動

```
>cd MODYLAS_1.0.3/source/
```

コンパイル環境の設定

```
>./configure –with-kind-of-fortran-compilier=FC
```

今回の講習会のための準備事項:

src/Makefileの「FCFLAGS=」の行の2つの「#」を削除

FCFLAGS = -DMPIPARA -DCOMM_CUBE -DFJMPIDIR

-DSYNC_COM #-DHALFDIRE -DONEPROC_AXIS #-

DSEGSHAKE

コンパイル

```
>make
```

```
./src/modylas
```

が生成

FC=(K|FX10|INTEL|PGI)

K : 京コンピューター

FX10 : FX10

INTEL : インテルコンパイラ

PGI : PGIコンパイラ

-DHALFDIRE 作用反作用ルーチンを有効
-DONEPROC_AXIS プロセス数1,2,4に対応
-DSEGSHAKE 熱力学的積分法ルーチンを有効

MODYLAS I/O構成

.bin, .dcd はバイナリ

MODYLAS用
計算条件ファイル
aaa.mddef



座標情報ファイル
aaa.mdxyz, or
aaa.mdxyz.bin



力場情報ファイル
aaa.mdff, or
aaa.mdff.bin



MODYLAS

aaa: セッション名

全てのI/Oファイルで共通

実行情報
(標準出力)

力学量モニターファイル
aaa.mdmntr

リストート用ファイル
aaa.restart.bin, or
aaa.restart.asc

解析用ファイル
aaa.mdtrj.bin, or
aaa.dcd →1.0.3から対応

計算速度ファイル
aaa.mdrun

MODYLAS 実行方法

実行形式:

```
./modylas セッション名
```

インプット一式のあるフォルダへ移動

```
>cd Met2/
```

実行モジュールのリンク (今回の講習会では必要なし)

```
>ln -s ../../binary/sysC/modylas ./
```

並列実行

```
>mpirun -np 8 modylas calcmf_034_0 > output_034_0
```

* スレッド数は export OMP_NUM_THREADS=? で設定

* プロセス数×スレッド数、はマシンのコア数 (phiでは16) 以下

phiでの実行用のシェル run.sh を用意しています。

MODYLASを用いた実習(1)

- 計算対象系

溶質 メタン 2 分子 (力場 CHARMM)
溶媒 水6508分子 (力場 TIP3P)

三次元周期境界条件下

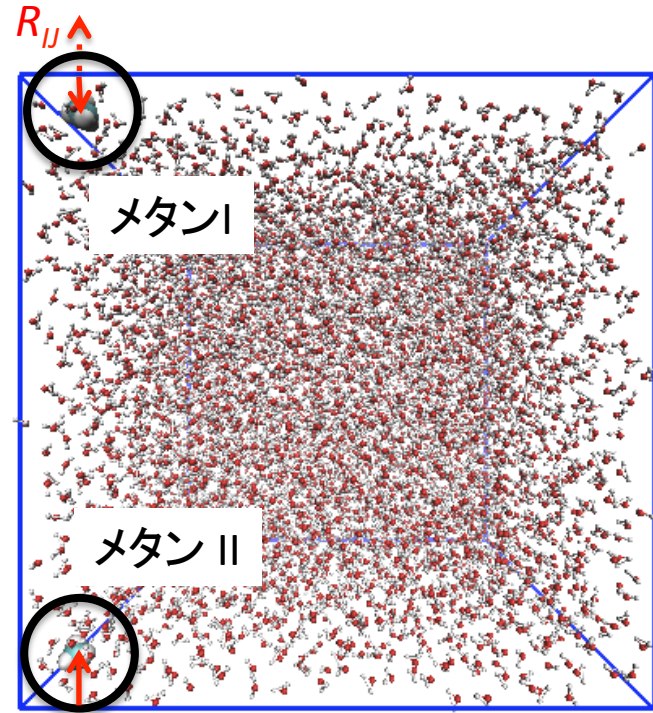
温度 $T = 300.15 \text{ K}$

圧力 $P = 101325 \text{ Pa} (1 \text{ atm})$

Lennard-Jones相互作用 カットオフ半径 12\AA , ポテンシャル・圧力補正項無し

Coulomb相互作用 高速多重極展開法(FMM), 展開次数4

基本セル一辺を 8 分割



```
philにある /home/hands-on/modylas/Met2/ 以下を自分のディレクトリにコピー  
cp -r /home/hands-on/modylas/Met2/ .
```

MODYLASを用いた実習(1)

- *NPT*アンサンブルでの系の熱平衡化

平均力 $\langle f(R) \rangle$ は、原子数 N 、圧力 P 、温度 T 一定およびメタン-メタン間距離 R が一定条件での熱平衡状態でサンプリングする必要があります。

そこで、まず与えられた初期配置について N, P, T 一定およびメタン-メタン間距離 R 一定条件下で系を熱平衡化します。

2つの溶質（メタン）および一定とする溶質間距離 R は `sessionname.mddef` ファイルにおいて指定します。

MODYLASには溶質間距離 R を徐々に変化させる機能が附属しており、これを用いてさまざまな拘束距離 R を実現します。

MODYLASを用いた実習(1)

- NPTアンサンブルでの系の熱平衡化

[条件]

圧力 $P = 101325 \text{ Pa}$

温度 $T = 300.15 \text{ K}$ 以上は共通

メタン-メタン間距離 $R = 4.0, 6.0, \text{ および } 8.0 \text{ \AA}$ (ΔG の基準点)

溶質Aは groupAtop ~ groupAend,
溶質Bは groupBtop ~ groupBend で指定
(数値はsegmentの通し番号 [.mdff参照])

change_distCOM=yes, とすると毎ステップ deltaR だけ溶質間距離が移動. 例えば
+0.001 : 0.001Å づつ離れる
-0.001 : 0.001Å づつ近づく

sessionname.mddef

```
<ensemble>
ensemble=npt_a
temperature=300.150000 # [K]
pressure=101325.000000 # [Pa]
</ensemble>
```

<COM>

```
constrain_COM=yes
groupAtop = 1
groupAend = 1
groupBtop = 2
groupBend = 2
dist_COM = 3.400 # [A]
change_distCOM=no
deltaR=0.001 # [A/step]
</COM>
```

MODYLASを用いた実習(1)

手順

(1) R を初期値へ拘束した上で平衡化

Met2/calcmf_034_0 では dist_COM = 3.400 が適值.

(2) R を目標値へ変化させる 例) $R = 3.4 \text{ \AA}$ から $R = 4.0 \text{ \AA}$

```
<integrator>
dt=2.0e-15    # [sec]
steps=600
</integrator>
<output>
ascii=yes
dcd=yes
<trajectory> start=0 interval=600 </trajectory>
<trjdc> start=0 interval=100 </trjdc>
<restart> start=0 interval=600 </restart>
<monitor> start=0 interval=1 </monitor>
<force> start=0 interval=1 </force>
</output>
```

$$600 = (4.0 - 3.4) / 0.001$$

注) こちらも
書き換えること

```
<COM>
constrain_COM=yes
groupAtop = 1
groupAend = 1
groupBtop = 2
groupBend = 2
dist_COM = 3.400 # [A]
change_distCOM=yes
deltaR=0.001 # [A/step]
</COM>
```

MODYLASを用いた実習(1)

手順

(3) 新たな R で平衡化

```
<COM>
  constrain_COM=yes
  groupAtop = 1
  groupAend = 1
  groupBtop = 2
  groupBend = 2
  dist_COM = 4.000 # [A] ← 「dist_COM = 4.000」と書き換える
  change_distCOM=no ← 「no」に戻す
  deltaR=0.001 # [A/step]
</COM>
```

今回の講習会では、時間の都合上(3)でのstepsは2,000とします[8プロセス×2スレッドで5分程度]。

本来、温度、圧力、ポテンシャルエネルギーなどの収束をみつつ、stepsを十分大きくとる必要があります。

(4) R を次の目標値へ変化させる(以下、繰り返す)

* (3) と (4) は並列で作業することも可。ただし、溶質を過度に速く移動させると温度が急上昇し(同時に圧力も急上昇)溶媒が蒸発して計算が破綻します。溶質ないし溶媒分子が大きい場合に注意が必要です。→ NVE+速度スケーリング法である程度対処可能。

MODYLASを用いた実習(1)

- sessionnameについて

本講習会では下のように統一してください。

手順(1),(3)

calcmf_034_0

拘束距離 R Rでの試行番号

- 0: 平衡化 → 不足なら 1, 2, ...と増加
- a: 平均力計算のためのブロック 1
- b: 平均力計算のためのブロック 2
- c: 平均力計算のためのブロック 3
- d: ...

手順(2),(4)

changeR_034_040

もとの拘束距離 R 変更後の拘束距離 R

サンプルを
Met2/_mddef/
に用意しています。

MODYLASを用いた実習(1)

- ・ VMDによる計算結果の可視化について

(1) Met2/Met2.psf ファイルをphiより手元のPCへダウンロード

(2) sessionname.dcd ファイルをphiより手元のPCへダウンロード

(3) コンソールから、以下を打つ。

> vmd Met2.psf sessionname.dcd

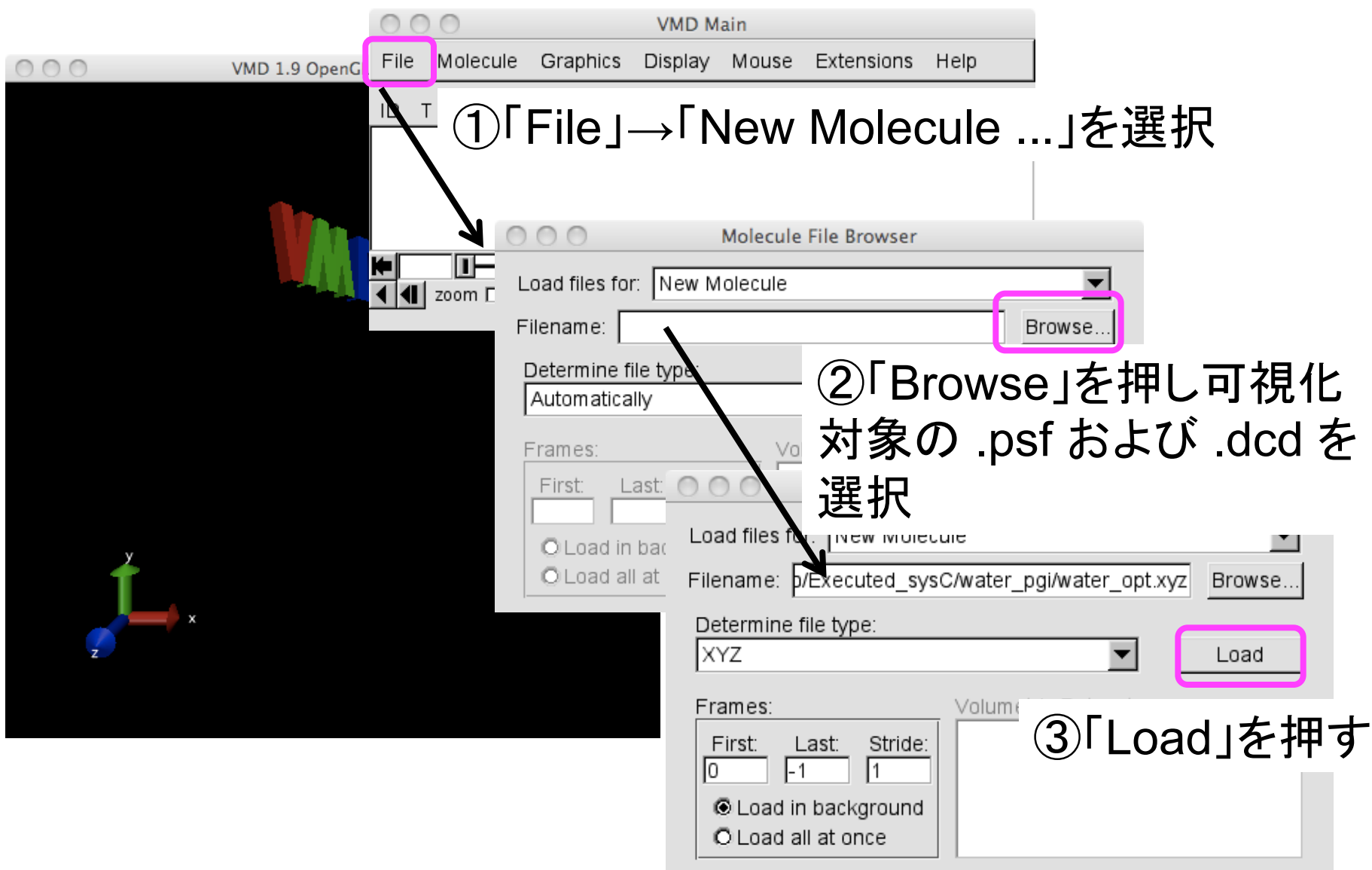
ないし vmd を立ち上げたのち、Met2.psf ファイル、sessionname.dcd ファイルの順に load する。

前回の講習会で説明した .mdtrj.bin を .xyz へコンバートする方法より簡単。
ただし、各計算系について .psf ファイルを .pdb ファイルから作成しておく必要あり (by VMD)。
また .dcd ファイルを書き出す命令を .mddef ファイルに追記して実行する必要あり。

```
<output>  
dcd=yes      * デフォルトは no  
<trjdcld> start=0 interval=100 </trjdcld>    interval は書出の頻度 (ここでは100ステップ毎)  
</output>
```

modylas_1.0.3 以降

VMD の基本操作



VMD の基本操作

The screenshot shows the VMD Main window. The menu bar includes File, Molecule, Graphics (highlighted with a pink box), Display, Mouse, Extensions, and Help. Below the menu is a table with columns ID, T, A, D, F, Molecule, Atoms, Frames, and Vol. A row shows 'water_opt.xyz' with 13284 atoms and 10 frames. The main display area shows a molecular structure with a green stick model and a blue sphere. A control panel at the bottom has buttons for zoom, loop, step, and speed, with a play button highlighted with a pink box.

④このボタンを押すと動画として再生される

より詳細はVMD のマニュアルを参照

分子の表示方法を変えたいときは
「Graphics」→
「Representations...」
を選択

The dialog box shows settings for 'Selected Molecule' (water_opt.xyz). It includes tabs for 'Create Rep' and 'Delete Rep', and sections for 'Style', 'Color', and 'Selection'. A dropdown for 'Drawing Method' is set to 'VDW', which is highlighted with a pink box. Below it are 'Sphere Scale' (1.0) and 'Sphere Resolution' (12) sliders. At the bottom are 'Apply Changes Automatically' and 'Apply' buttons.

「Drawing Method」→
「VDW」などを選ぶ

MODYLASを用いた実習(2)

- ・平均力の計算および自由エネルギーの算出

統計力学にもとづくMD 計算において, 本来平均は「アンサンブル平均」として計算する必要があります. 今回はエルゴード性がなりたつと仮定して, これを「時間平均」と近似して計算します*.

ブロック平均を複数個とり, それらの平均値±標準偏差, として平均力およびその誤差を定義します.

自由エネルギープロフィール $\Delta G(R)$ は, 得られた平均力のグラフを右から数値積分することで計算します. 今回の講習会では $\Delta G(R)$ の基準点を $R = 8\text{\AA}$ とします.

* 溶質および溶媒の構造緩和時間が大きい場合 (例えばイオン液体など) は, 長時間の時間平均をとる, ないし初期配置を多数用意してアンサンブル平均をとる必要があります.

MODYLASを用いた実習(2)

手順

(1) N, P, T および R 一定条件下で平衡化された系に対し平均力をブロック平均 $\langle f(R) \rangle_i$ として計算

`sessionname.force`

#	step	mean force A-B	raw force A-B	raw force A	raw force B	dist_AB
1	0.360680051520E-09	0.360680051520E-09	0.381907030036E-09	-0.339453073005E-09	3.40000	
2	0.364840067497E-09	0.369000083473E-09	0.389955299220E-09	-0.348044867726E-09	3.40000	

$\langle f(R) \rangle$ の step 積算平均 単位[N].

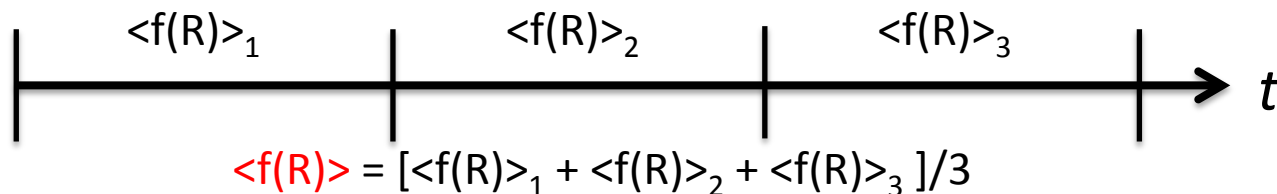
最終ステップでの値を採用.

拘束距離 R 単位[Å]

時間の都合上 1 ブロックあたりの steps は 5,000 とします. [8 プロセス × 2 スレッドで 10 分程度].

ここが設定値 dist_COM であることを必ず確認

(2) ブロック平均値をさらに平均し $\langle f(R) \rangle$ とする. これを R に対してプロットする.



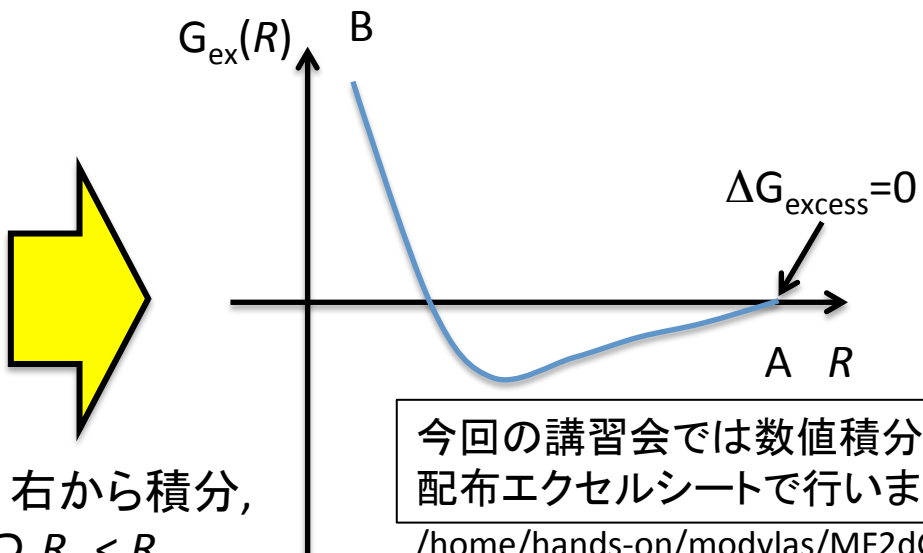
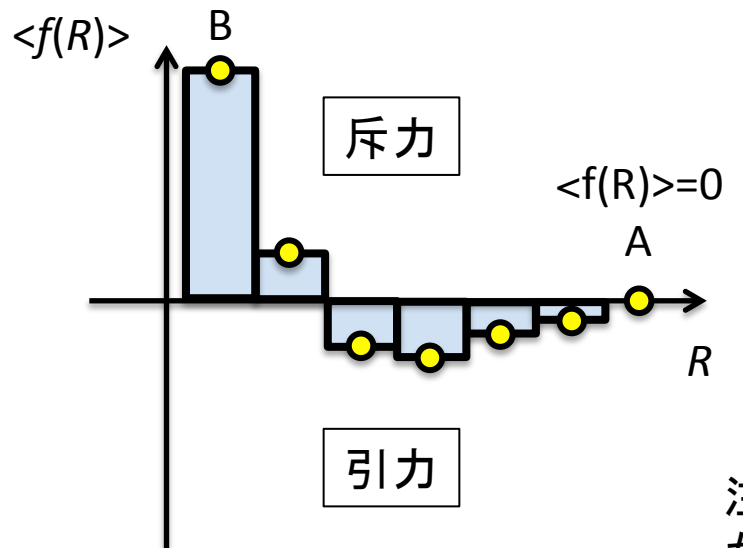
MODYLASを用いた実習(2)

手順

(3) 平均力のプロットを数値積分することで $\Delta G_{\text{excess}}(R)$ を計算します.

$$\Delta G_{AB} = \int_A^B -\langle f_{IJ}(R_{IJ}) \rangle_{R_{IJ}, N, P, T} dR_{IJ} \approx \sum_i -\langle f_{IJ}(R_{IJ,i}) \rangle_{R_{IJ,i}, N, P, T} \Delta R$$

* 長方形近似での数値積分. 実際の研究ではより高精度な数値積分の方法(台形公式, シンプソンの公式など)を使います.



注) 右から積分,
かつ $R_B < R_A$

今回の講習会では数値積分は
配布エクセルシートで行います

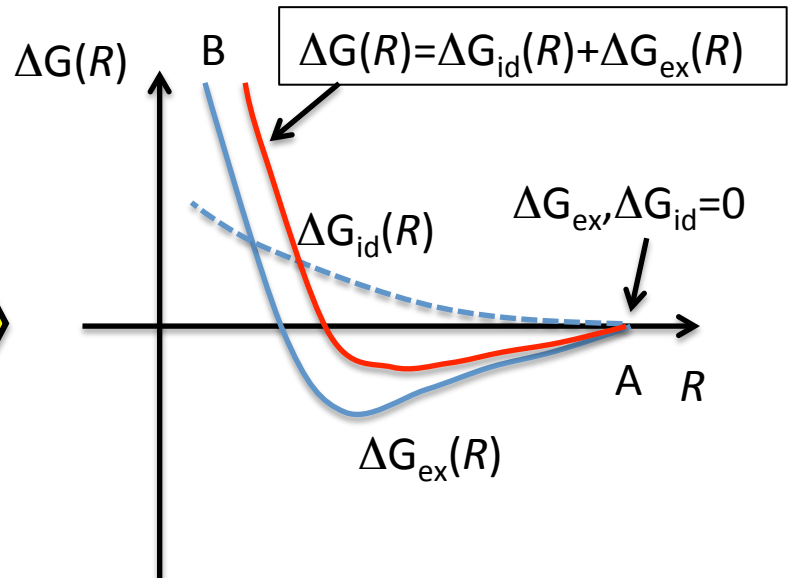
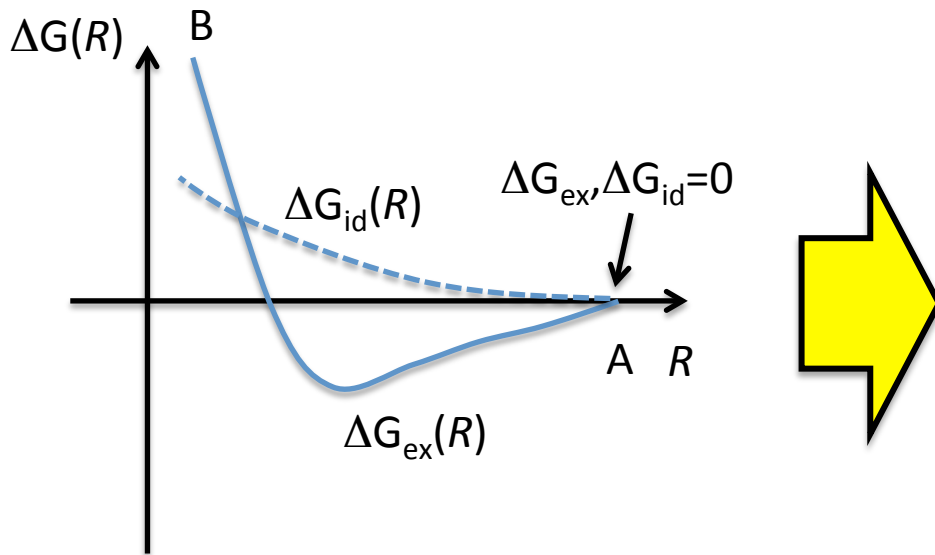
/home/hands-on/modylas/MF2dG/ 以下.
R=4.0, 6.0, 8.0以外にはあらかじめ計算
された $\langle f(R) \rangle$ の値が入っています.

MODYLASを用いた実習(2)

手順

(4) 理想項 $\Delta G_{\text{id}}(R)$ を加えて $\Delta G(R)$ とします.

$$\Delta G = \Delta G_{\text{ideal}}(R) + \Delta G_{\text{excess}}(R) = -k_B T \ln(R_B^2 / R_A^2) + \int_A^B -\langle f(R) \rangle dR$$



MODYLASを用いた実習(2)

手順

(5) $\Delta G(R)$ における誤差の見積もり

数値積分の対象となる各点の $\langle f(R) \rangle$ は誤差 $\delta(\langle f(R) \rangle)$ を伴っています。 $\Delta G(R)$ の各点における誤差は、伝播したこれら誤差から定まります。

誤差の伝播に関する規則^[5]:

観測量 x, \dots, z についてそれらの誤差 $\delta x, \dots, \delta z$ が互いに独立かつランダムであるとすると

$$\text{和と差} \quad q = x + \dots + z$$

$$\delta q = \sqrt{\delta x^2 + \dots + \delta z^2}$$

$$\text{測定値と定数の積} \quad q = Bx$$

$$\delta q = |B| \delta x$$

$$\Delta G_{AB} \approx \sum_i -\langle f(R) \rangle \Delta R$$

$$\delta(\Delta G_{AB}) = \sqrt{\Delta R^2 \sum_i \delta(-\langle f(R) \rangle)^2}$$

参考文献

分子動力学計算および熱力学的積分法

- [1] 岡崎進, 吉井範行, コンピュータシミュレーションの基礎, 化学同人 (2000).
- [2] 上田顕, 分子シミュレーション -古典系から量子系手法まで-, 裳華房 (2003).
- [3] D.Frenkel, B.Smit, Understanding molecular simulation (2nd ed.), Academic Press (2001).

物理化学, 統計力学

- [4] D.A. McQuarrie, J.D. Simon, 物理化学(下) 分子論的アプローチ, 東京化学同人 (2000).

誤差解析

- [5] J.R. Taylor, 計測における誤差解析入門, 3章, 東京化学同人(2000).

実際の研究例 (MODYLASの原著論文とともに, 適宜引用のこと)

K.Fujimoto, N.Yoshii, S.Okazaki, *J.Chem.Phys.*, **136**, 014511 (2012).; **133**, 074511 (2010).;
137, 094902 (2012); *Mol.Simul.* **38**, 342(2012)., N.Yoshii, S.Okazaki, *J. Chem. Phys.* **126**,
096101 (2007) ., N. Yoshii, K. Iwahashi, and S. Okazaki, *J. Chem. Phys.* **124**, 184901 (2006).
Y.Andoh, K.Oono, S.Okazaki, I.Hatta, *J.Chem.Phys.*, **136**, 155104 (2012).